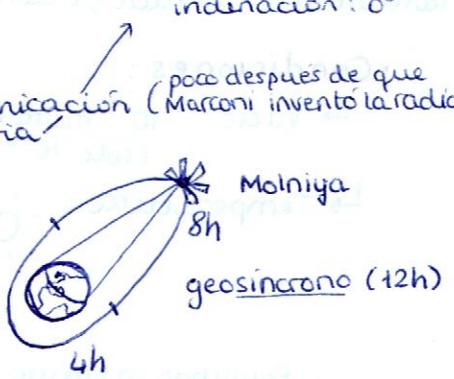


# SISTEMAS DE COMUNICACIONES ESPACIALES

## TEMA 1. INTRODUCCIÓN

### • Introducción histórica

- 1923 : Hermann Oberth propone usar satélites para comunicación (poco después de que Marconi inventó la radio)
- 1945 : Arthur C. Clarke propone órbita geoestacionaria
- 1957 : Sputnik-1 : 1º satélite
- 1958 : Explorer-1 : 1º satélite EEUU
- 1962 : Telstar-1 : 1ª tx de TV transatlántica
- 1965 : Molniya-1 → Early Bird / Intelsat 1 → primer GEO comercial



### • Fases de un proyecto

Se persiguen unos objetivos de garantía

## ESTÁNDARES DE CONSTRUCCIÓN

### Product Assurance (PA)

- proteger vida, inversión, entorno
- PROBABILIDAD de operar satisfactoriamente
- Identificar ELEMENTOS CRÍTICOS
- Manufactura y tests: estándar, consistentes y correlables → TRAZABILIDAD

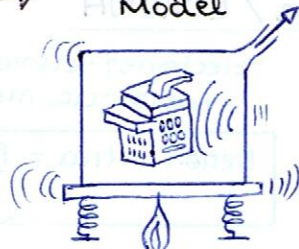
Breadboard  $\Rightarrow$  Engineering Model  $\Rightarrow$  qualification Model  $\Rightarrow$  Prototipo/Modelo de vuelo



- construir circuito
- test térmico
- NO adecuado VUELO



- mecánicamente representativo (tamaño, torsión, carga, ...)
- tests:
  - térmico
  - EMC
- NO adecuado VUELO



- mecánicamente representativo
- tests:
  - vacío térmal
  - EMC
  - vibraciones
- más fuertes de lo necesario (margenes de confianza)
- componentes de vuelo



- tests a nivel de "aceptación" (no forzarlo)
  - vacío térmal
  - EMC
  - vibraciones (sin radiaciones)

- minimizar dimensiones y masa (que no varíe entre estándares)
- centro de gravedad fijo
- estructura rígida, alta freq. resonancia
- Interfaces mecánicos ← aliviaderos para el vacío eléctricos termodinámicos ← disipación adecuados

### GRANDES LIMITACIONES:

- consumo de potencia
- volumen
- masa

### REQUERIMIENTOS:

- alta fiabilidad (15 años sin mantenimiento)
- grandes vibraciones en lanzamiento
- entorno orbital (temp, vacío, radiaciones...)

100's de Hz (cuidado con resonancias)

## Entorno espacial

- microgravedad
- micrometeoritos / basura espacial
- lanzamiento: vibración, acústica

### Condiciones:

↳ Vacío:  $10^{-10}$  hasta  $10^{-20}$  Torr  
(sólo  $10^{-6}$  Torr en test)

↳ Temperatura:

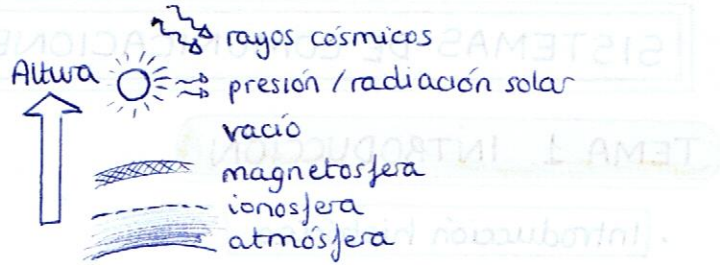


- Equilibrio en espacio profundo: 4 K
- Panel solar al sol: 350 K

↳ Radiación

↳ Vibración (aleatoria, secuencial, continua)

↳ EMC



- radiación solar
- radiación terrestre (albedo)
- dissipación eléctrica interna
- radiación al espacio

$$Q = \epsilon \cdot A[m^2] \cdot \sigma \left[ \frac{W}{m^2 K^4} \right] \cdot T^4 [K]$$

↑ emissividad  
(0 a 1)      ↑ de Stephan-Boltzmann  
                        ↑ Temperatura  
                        ↓ superficie

## Efectos Perjudiciales en RF

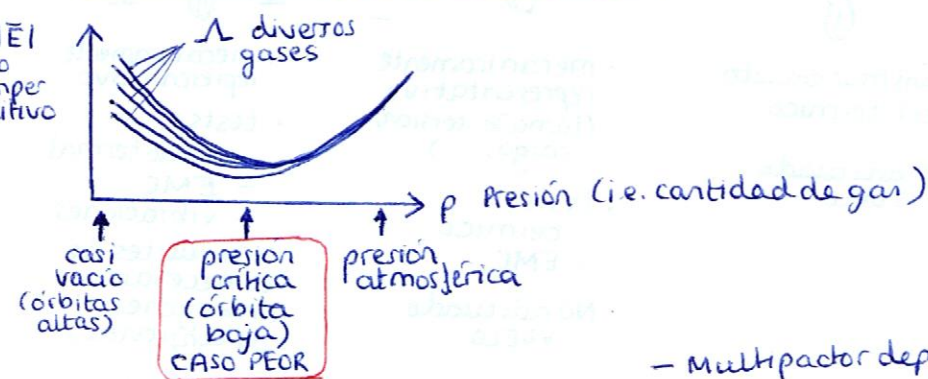
### → Gaseous Breakdown / CORONA



- Electrones colisionan con moléculas del gas (distancia media libre entre colisiones)

$$\text{Presión crítica} = \text{Presión a la cual} \\ f_{\text{col de } e^-} = f_{RF}$$

"resonancia"



### → MULTIPACTOR

Electrón choca contra metal



- Rebote
- Arranque  $e^-$
- incrustación

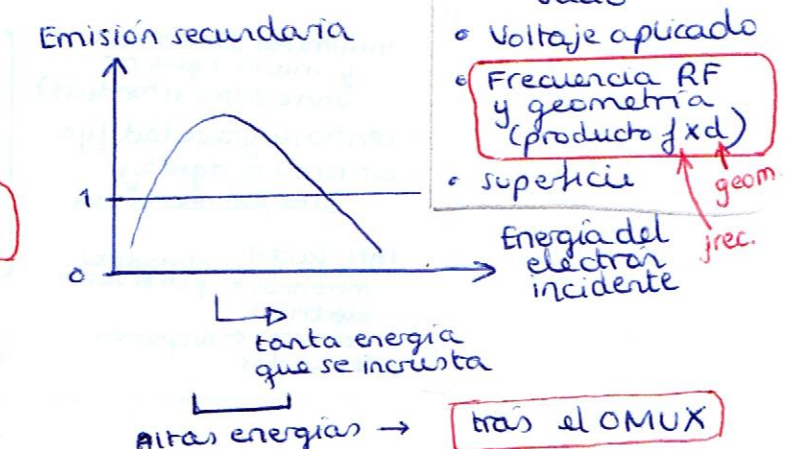
Si la media es > 1  
EFFECTO AVALANCHA

- puede ocurrir en ausencia de gas (órbitas altas)
- puede combinarse con el efecto corona si hay gas (órbitas bajas) (pero es más grave en vacío)

Solución actual: superficies con rugosidades de [nm]

### → PIM (intermodulación pasiva)

$$(m_1 \pm n_2)$$



no relacionado con el entorno espacial

- Multipactor depende de:

- condición de vacío
- Voltaje aplicado
- Frecuencia RF y geometría (producto  $f \times d$ )
- superficie

geom.

## • Subsistemas y carga útil

Todo hace falta y todo está relacionado

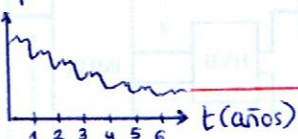
- **Subsistema estructural:** mantener todos los equipos. Robusto y estable
- **Subsistema de control térmico:** zonas hacia el sol con temp muy elevadas
- **Subsistema de propulsión:** AKM (GTO + GEO) zonas hacia el espacio profundo con temp bajísimas
- **Subsistema de generación de potencia:**



Cada vez se fabrican con mayor eficiencia ↑  
año

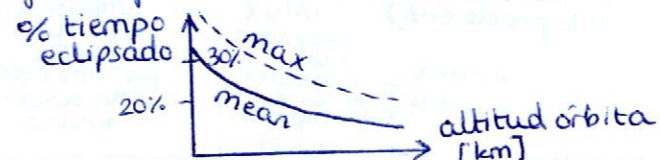
- se deterioran por bombardeo de partículas (electrones y protones)

Pgenerada [W]



se sobredimensionan para dar suficiente potencia al final de la vida

- sufre el efecto de ser eclipsado por la tierra



→ Requiere BATERIAS Ni-Cd, NiH<sub>2</sub> (15% peso total)

LEO: un eclipse todos los días (30% tiempo)

GEO: eclipses sólo 22 días antes y después de los dos equinoccios → alineamiento tierra-ecuador-sol (total 88 días)  
duración máxima 70 min

alineamiento predecible

$\left[ \begin{array}{l} \text{sat-tierra-sol} = \text{eclipse} - \text{baterías} \\ \text{tierra-sat-sol} = \text{interferencia solar} \\ \text{(problemas de ruido en la estación terrestre)} \\ \hookrightarrow \text{se trabaja con sat. vecinos} \end{array} \right.$

## - Subsistema de control de órbita

sensoriza y corrige desviaciones

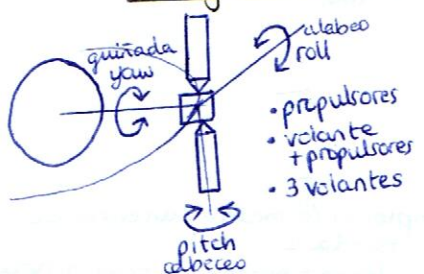
sensor inercial (acelerómetro, giroscopio)  
sistema de referencia externo (sol, estrellas, tierra)

propulsores  
momento angular  
criss: navegación solar, actuador magnético



sección recta  
radar con infrarrojos de los trópicos de cáncer y capricornio  
deben ser iguales

### • Estabilización 3 ejes



LEO → mayor velocidad  
→ control órbita crítico  
GEO → tolerancia arco ± 0°05°  
~ 75 km

### Estabilización en spin

- Parte del satélite gira para aumentar la rigidez del conjunto: sólo se usa en GEOS debido al efecto giroscópico
- Introduce vibraciones adversas
- Objetivos de diseño:
  - Estado de equilibrio
  - Respuesta a un par externo (ej: impacto, viento solar, ...)
  - Estabilidad y posibles estados oscilatorios



SIMPLE SPIN  
gira todo



DOBLE SPIN  
plataforma fija (antenas)

### TRIPLE SPIN

- antenas fijas  
- placas solares hacia el sol



## - Subsistema TT&C

- Telemetría: downlink. Info de sensores
- Telecomando: uplink. Comandos al satélite
- Tracking: up y down. Radiobalizas (tono puro)

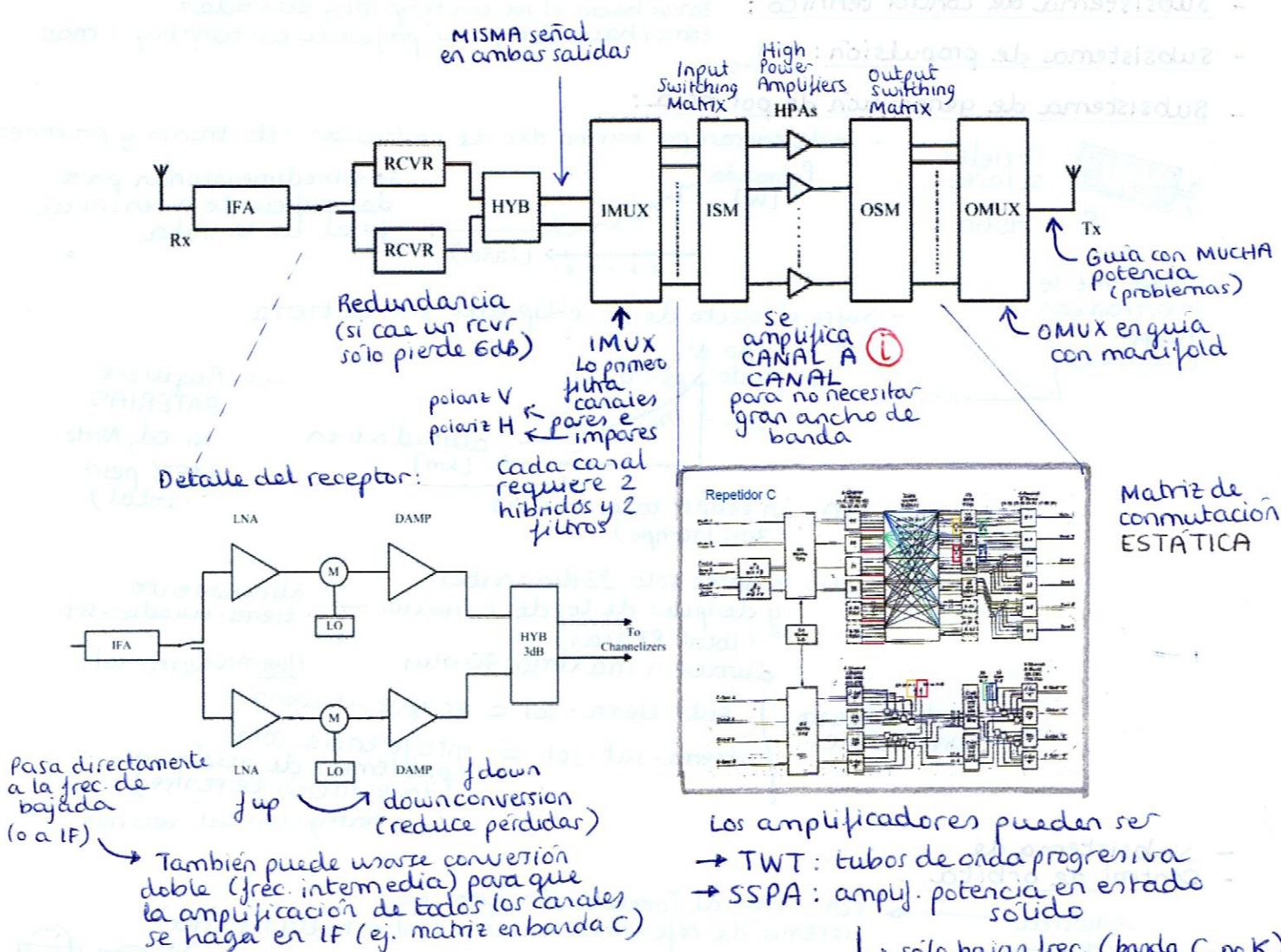
sistema común  
Poco ancho de banda (500-200 bps)  
PSK, FSK

funcionamiento NOMINAL  
- antena global direccional banda S  
funcionamiento CRÍTICO  
- antenas omnidireccionales banda C

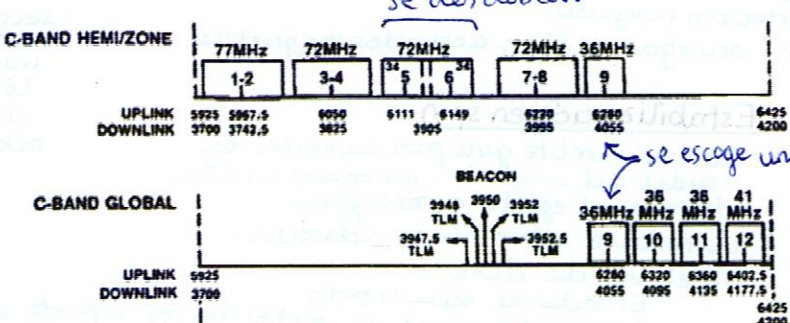
## Carga útil

Antenas (receptoras y transmisoras)  
Repetidor de microondas

transparente / bent pipe (no demodula)  
regenerativo (corrige errores)



## Plan de Frecuencias



Conversion simple:  $f_{up} \rightarrow f_{down}$  (IMUX, HPAs, OMUX)

Conversion doble:  $f_{up} \rightarrow f_{IF} \rightarrow f_{down}$

Ejemplo: Si la matriz funciona en banda C,  
si  $f_{down}$  = banda C  $\rightarrow$  conv. simple  
si  $f_{down}$  = banda K  $\rightarrow$  conv. doble

## TEMA 2. DISPOSITIVOS PASIVOS

### 2.1. FILTROS DE MICROONDAS

#### • Especificaciones

##### IMUX:

- Mucha selectividad (abruptos)
- Pérdidas de inserción no críticas

##### OMUX:

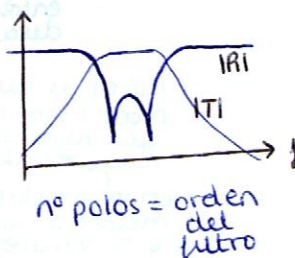
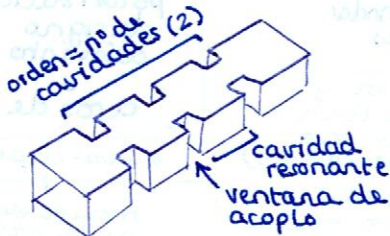
- Pérdidas de inserción mínimas ( $< 0.3 \text{ dB}$ )
- Manejo de 10W a 100W por canal

#### Otras especificaciones

- Rechazo de canales adyacentes alto
- Variación baja de IL
- Retardo de grupo  $< 2 \text{ ns}$  en el 70% del BW y  $< 20 \text{ ns}$  en extremos
- Margen de temperaturas ( $0^\circ \text{ a } 50^\circ \text{ C}$ )

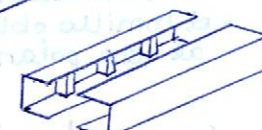
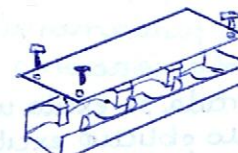
#### • Implementaciones

#### • Filtro de cavidades acopladas



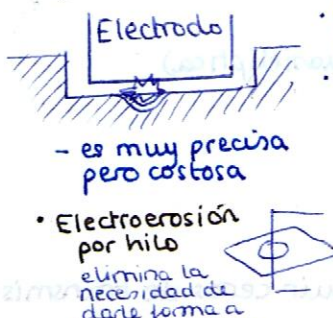
→ 2 técnicas de ensamblado:

#### • plano H: cuerpo y tapa



#### ↳ Fabricación

##### • Electroerosión



- mechaniza con precisión
- se arranca material conductor con descargas eléctricas

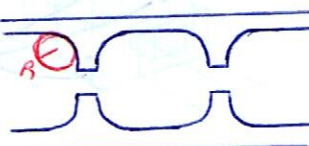
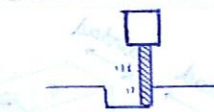
##### • Fresado

- una fresa perfora la pieza

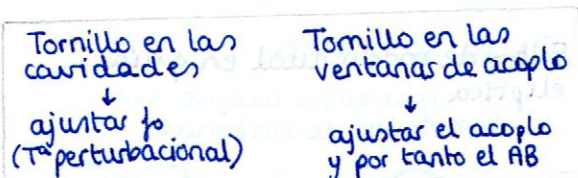
- esquinas redondeadas

reducir el volumen de la cavidad

↓  
subir frec de resonancia



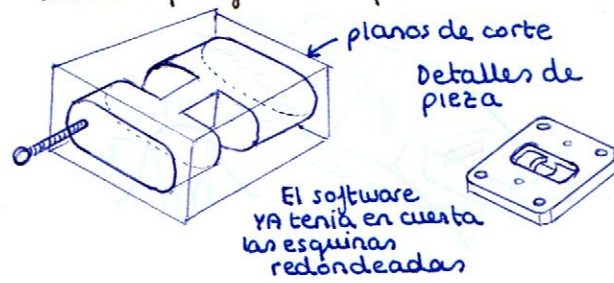
#### ↳ Elementos de sintonía



##### Inconvenientes:

- vibraciones en el lanzamiento las modifican
- empeoran los efectos de altas potencia

- nueva topología con esquinas redondeadas



#### ↳ Materiales más ligeros

- Filtro en Fibra de Carbono
- Filtro con magnesio (50% peso)

#### ↳ Material: Invar

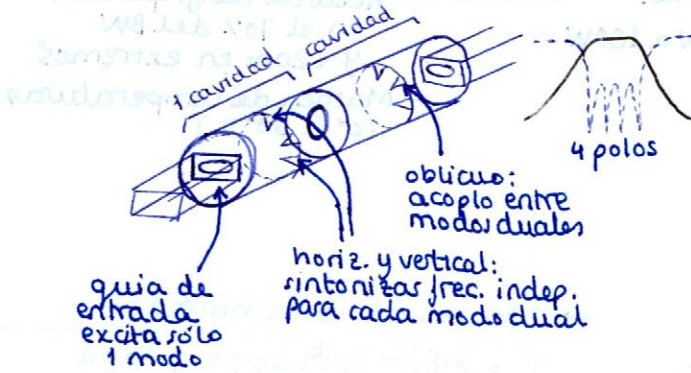
- más pesado que el aluminio
- bajo coef de expansión con la temp (rango grande de temp)

## Filtros de Modo Dual

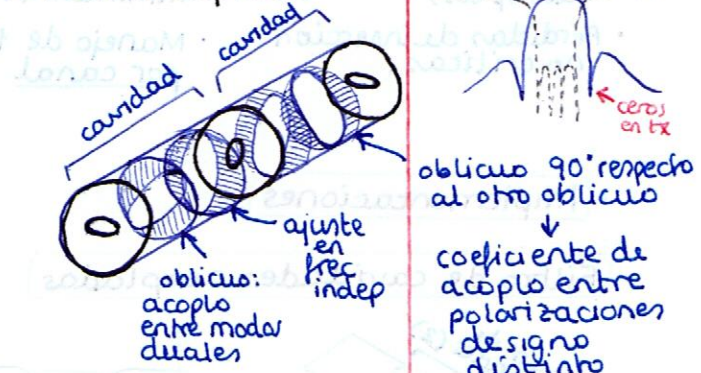
- Suelen usarse para los filtros de canal (banda estrecha 24-120 MHz)
- Intenta compactar al máximo peso y volumen
- En cada cavidad resuenan 2 modos (filtro de orden N con  $\frac{N}{2}$  cavidades)
  - Son 2 modos degenerados (frec cercana pero distrib. de campo muy diferente)
  - Excitar uno u otro modo a la entrada y hacer que se excite el otro con un elemento oblicuo.
  - casi siempre respuesta Chebyshov o elíptica

## Guía circular

### 1. con elementos de sintonía



### 2. con iris elípticos



## TE<sub>11</sub>: modo fundamental

### dos polarizaciones

- a la entrada se excita uno
- el tornillo oblicuo excita al otra polarización

Difícil de alinear y rotar (tornillo tiene que atravesar para asegurar alineamiento)

En la práctica la medida no era buena y se volvieron a los tornillos de sintonía

respuesta elíptica con los ceros puestos a mano donde nos interesa

## Guía cuadrada



- cómo conseguir acople a los dos modos sin tornillo oblicuo?

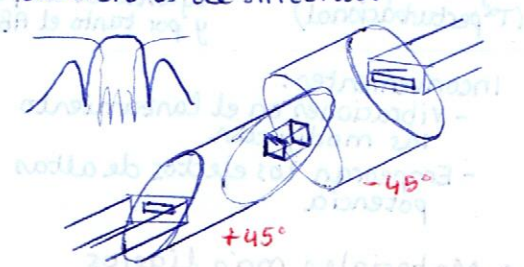
que la guía de entrada excite directamente los dos modos

cómo conseguir ceros de transmisión?

Girar una cavidad +45° y la otra -45°

## Guía elíptica

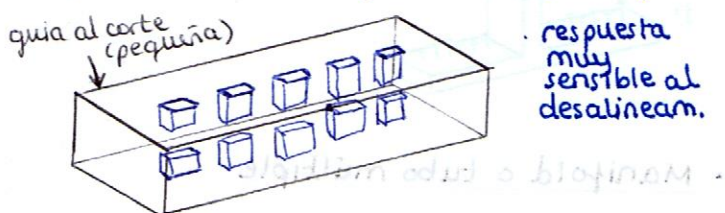
Otro esfuerzo de acople sin elementos de sintonía



## Filtros de Modo Evanescente

- Intentar reducir al máximo el volumen del componente (dimensiones pequeñas)
- Modo fundamental al corte en la freq. resonancia del filtro
- se introducen RIDGES (inserciones metálicas en el centro de las guías) que localmente bajan la frecuencia de corte del modo fundamental.
- Por tanto pueden existir resonancias
- Si están suficientemente juntas se logran acoplar entre sí
- Pueden ser paso banda o paso bajo

↳ Simétrico: con ridges arriba y abajo



↳ Asimétrico

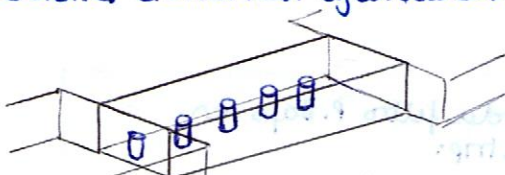
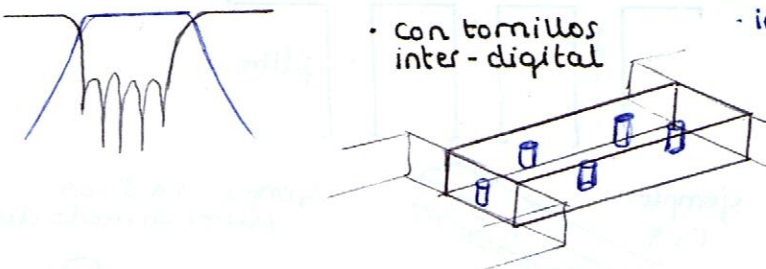
inserciones metálicas sólo en un lado.

• mucho menos sensible



• Comb-line con tornillos

• inserciones cilíndricas ajustables



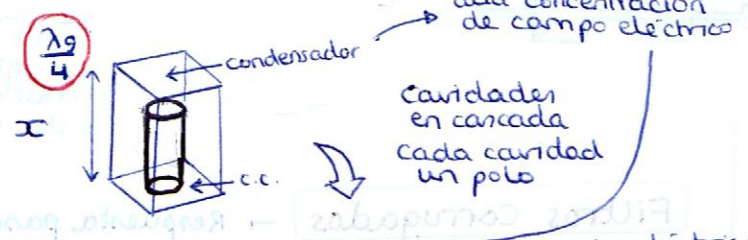
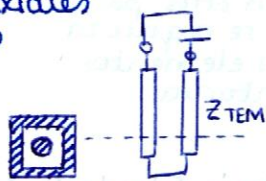
→ Banda L y S ~900MHz ~2.4GHz

## Filtro con resonadores coaxiales (comb-line)

Resonadores coaxiales

2 conductores

Modo TEM



### Acoplamientos laterales

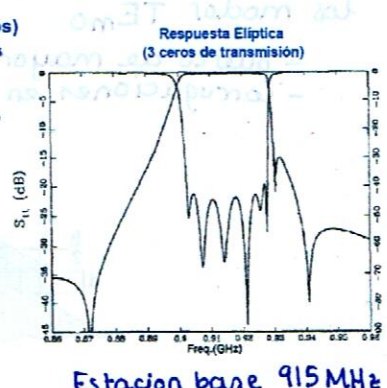
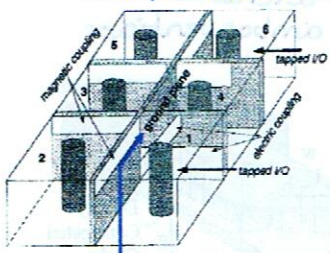
Acoplando cavidades adyacentes se logran ceros de transmisión

Deben haber "acoplos de signo contrario" (en este ej. verso pared inferior)

excitación eléctrica con coaxial

Para mayor AB puede requerirse mayor acoplamiento entre cavidades (con sondas y sondas tipo champiñón)

Filtros de 6 Cavidades (6 polos) con acoplamientos laterales



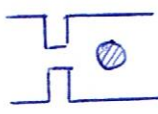
Tiene dos tipos de acoplamiento (magnético y eléctrico) → ceros de tx

### Tipos de excitación

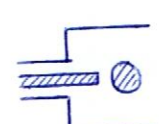
Puerto discontinuidad



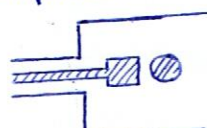
Puerto iris



Coaxial



Sonda tipo champiñón

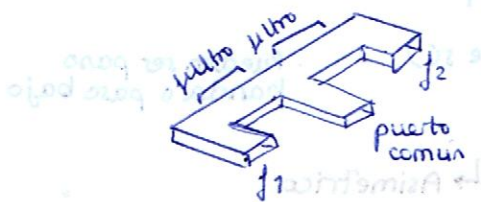


mayor ancho de banda

## Diplexores y Multiplexores

Topologías más clásicas (Ku (12-18GHz), 38GHz,...)

ej: diplexor en plano H  
uniones T en plano H



ej. diplexor en plano E



filtro (terminos de sintonía)

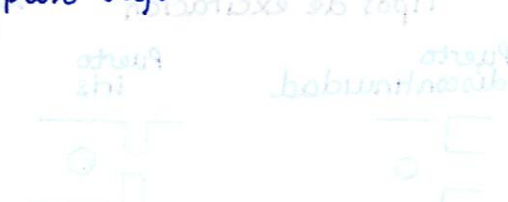
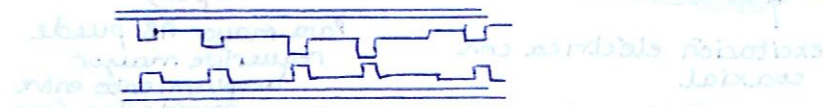
Recuerda filtro P. Bajo en microstrip:

- bobinas serie:  
Microstrip con alta impedancia
- condensador paralelo:  
Microstrip con baja impedancia

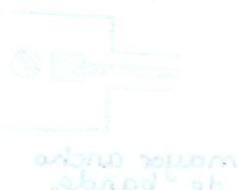


## Filtros Corrugados

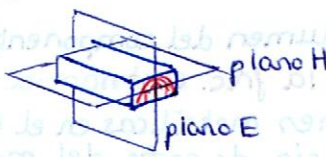
Concepto similar: variar altura de la guía



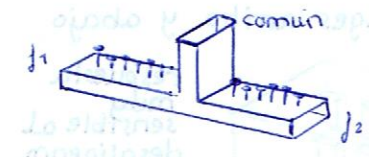
no hincarlos



Re cuerda:



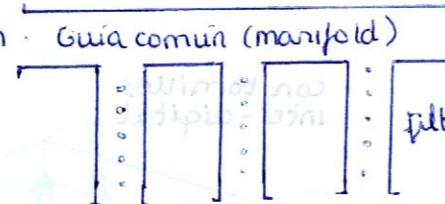
ej: diplexor con unión T plano E



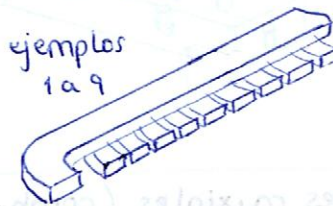
Diplexor comb-line en banda S (2-4GHz)

0	0	0	-
0	0	0	-
0	0	0	-
0	0	0	-
0	0	0	-

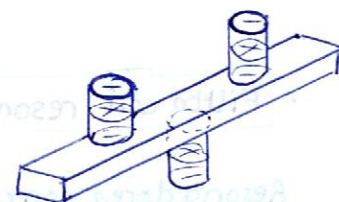
## • Manifold o tubo múltiple



c.c.



ejemplo: 1 a 3 con filtros en modo dual

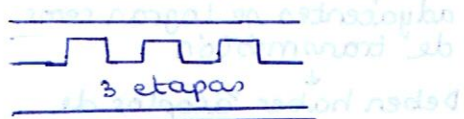


Los distintos accesos interactúan unas con otras, para lo que se requieren muchos elementos de sintonía



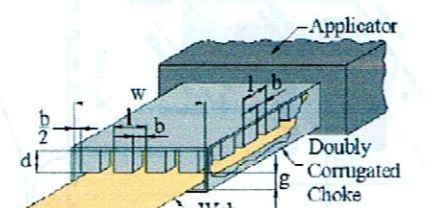
Respuesta paso bajo (desde la frec. de corte), paso banda, o banda eliminada

ej: banda eliminada 2.45GHz a



ej: banda eliminada para todos los modos TE<sub>MO</sub>

- puerto de mayor anchura
- corrugaciones en ambos sentidos

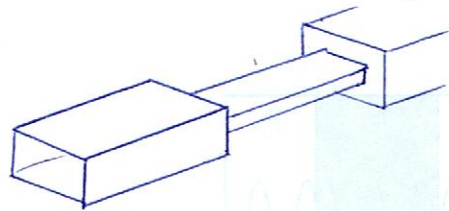


HM2IP band rejected

ab zogig tab ang y corrigan el gato  
x3 ab zogig e - corrigible

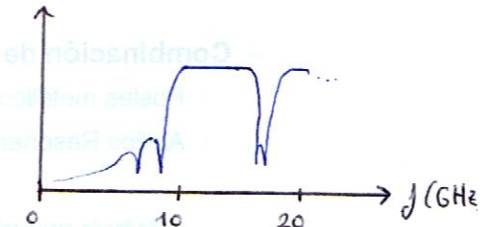
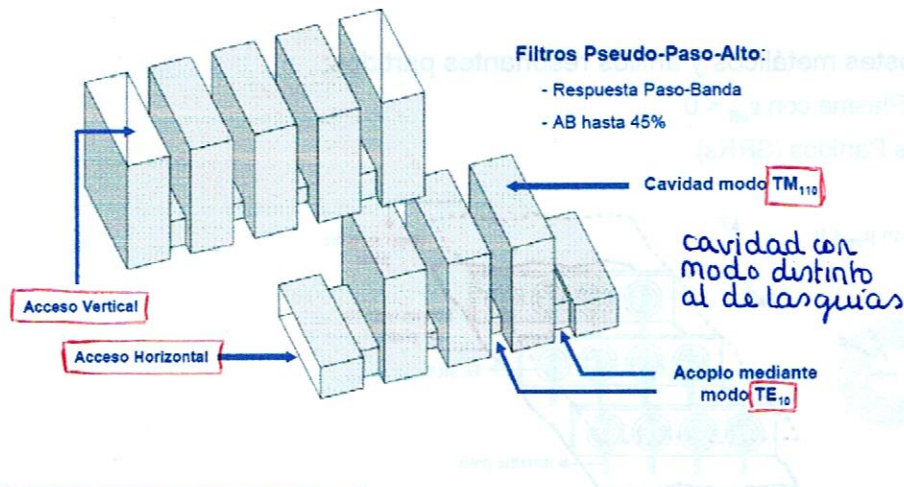
## Filtros Paso Alto

- Basados en tramos de guías al corte



Pueden requerir adaptación

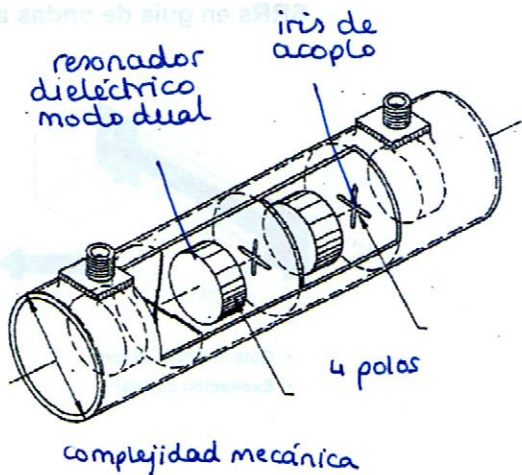
- Pseudo-Paso-Alto: Paso banda con gran ancho de banda (45%)



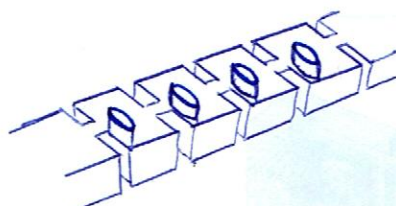
## Tendencias futuras

- Filtro con resonadores dielectrivos

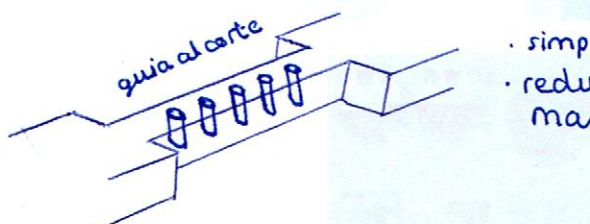
- Insertar pastillas dielectricas & ~ 40, 70 para bajar la freq de resonancia
- Resonadores dielectrivos pueden ser en modo dual



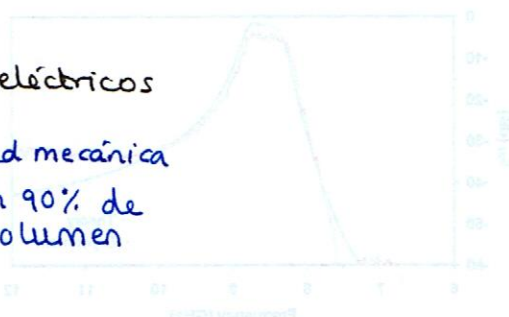
- cavidades acopladas con resonadores dielectricos



- Modo evanescente con resonadores dielectricos



- simplicidad mecanica
- reducción 90% de masa/volumen

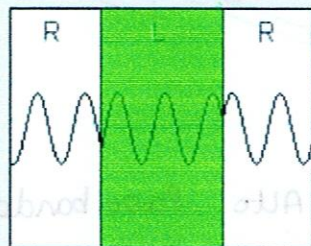


## Filtros basados en metamateriales

atJA 0209 intJF

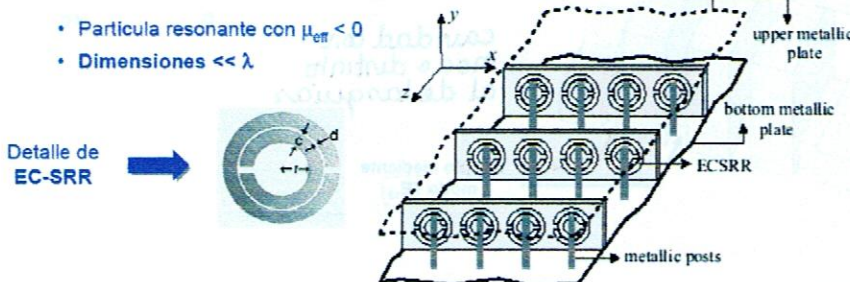
### • Medios Zurdos (Left-Handed Media)

- $\epsilon_{\text{eff}} < 0$  y  $\mu_{\text{eff}} < 0$
- Vectores de onda y Poynting anti-paralelos
- Índice de refracción negativo
- Velocidades de fase y grupo con signo opuesto
- Se ha observado propagación electromagnética

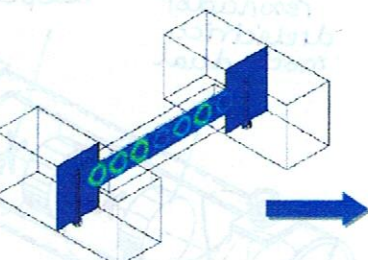


### — Combinación de postes metálicos y anillos resonantes partidos:

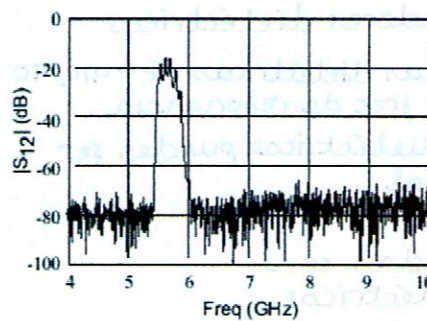
- Postes metálicos: Plasma con  $\epsilon_{\text{eff}} < 0$
- Anillos Resonantes Partidos (SRRs)



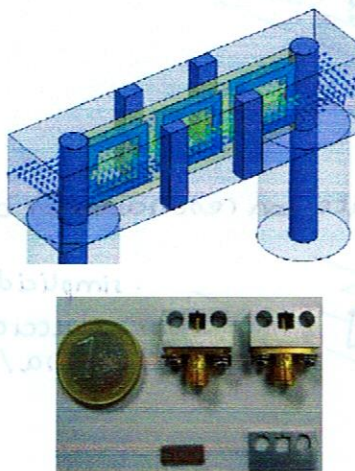
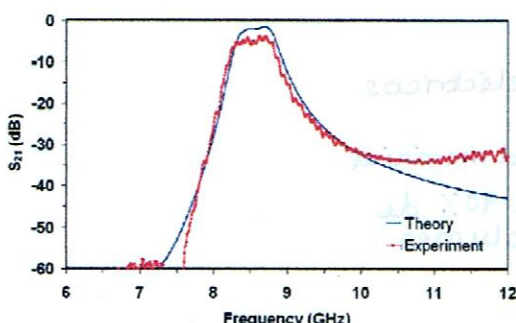
### — SRRs en guía de ondas al corte (evanescente):



- Guía de ondas al corte
- Excitación coaxial



### Excitación mediante coaxial



## 2.2 MULTIPLEXORES DE ENTRADA / SALIDA

### • Variaciones de potencia

- Señal típica: 1mW
- PIRE de estación terrena: 1GW
- Recepción en el satélite: 1nW
- Transmisión desde satélite: 1kW
- Recepción en la tierra:  $10^{-17}$  W

$$L_{\text{prop}} = 200 \text{ dB}$$

ganancia de la antena  
(es una ganancia ficticia)

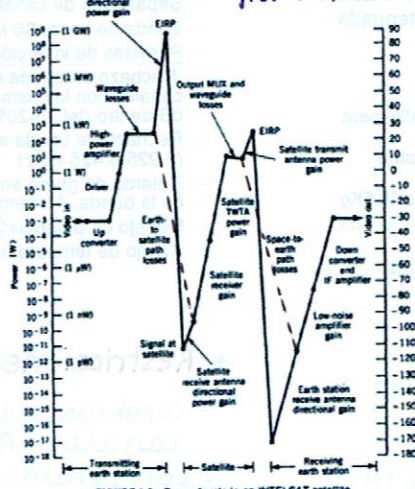
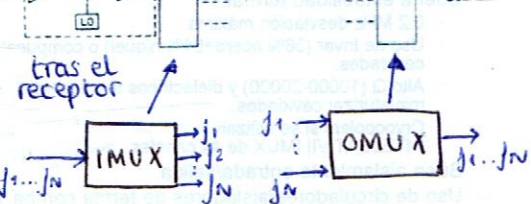


FIGURE 1.3 Power levels in an INTELSAT satellite.

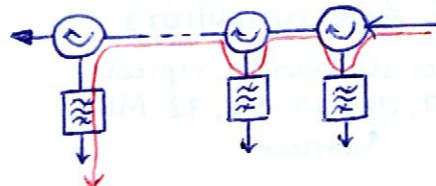
### • Localización IMUX / OMUX



- separa todo el ancho de banda en canales
- El ancho de banda de los filtros DEFINE los canales

### • IMUX

#### • Topología modular circulador/filtro



- FIJATE que el último canal ha sido reflejado por todos los anteriores filtros
- Es un problema ya que exige que los filtros de canales adyacentes tengan un SII muy selectivo!
- Solución → separar canales pares e impares

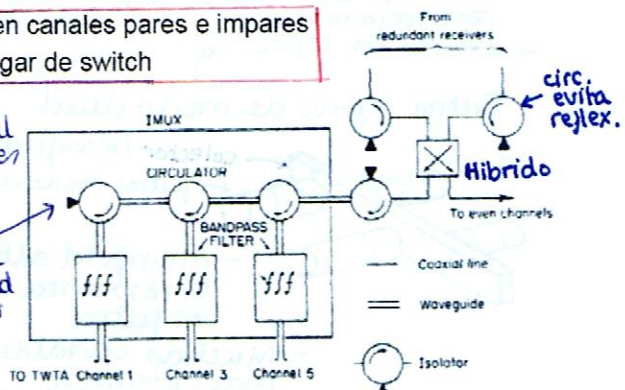
↳ El canal adyacente no nos roba potencia

- Separación en canales pares e impares
- Híbrido en lugar de switch

Divide la señal total en 2 iguales a -3 dB

carga adaptada disipa la mitad de potencia de los canales pares!!

perdida de 3 dB



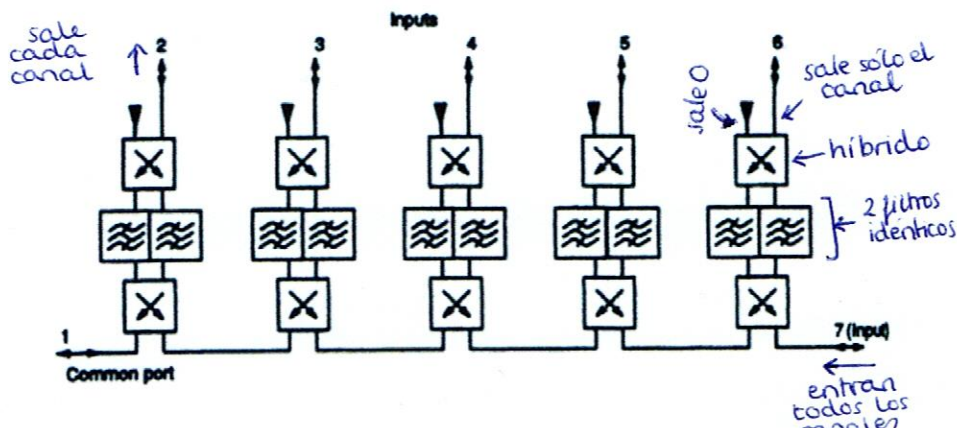
Ventajas: - totalmente modular

Desventajas: - pérdidas circulador (material ferromagnético o 2 dB de pérdida)

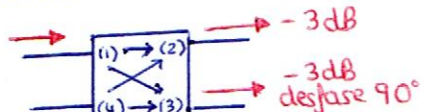
- pérdidas de filtros
- cada canal tiene distintas pérdidas
- circuladores son VOLUMINOSOS

- Las pérdidas no son importantes, ya que en el IMUX aún falta amplificadores.
- Pero interesar pérdidas planas

#### • Alternativa: filtro direccional (nos ahorramos los circuladores)



Recuerda: híbrido



Acoplamiento  $C = -20 \log |S_{31}|$  (3 dB)

Aislamiento  $I = -20 \log |S_{11}|$  ( $\infty$  dB)

Directividad  $D = 20 \log \left| \frac{|S_{31}|}{|S_{11}|} \right| = I - C$

## ejemplo características IMUX:

- Anchos de banda típicos: 27, 36, 45, 54, 72 MHz (no standard)
- Filtros de banda estrecha: 0.3-2%
- Uso de filtros en modo dual quasi-elípticos (orden 8, 2 cercos equalizados).
- Equalizadores de retraso de grupo externos/filtros autoequalizados
- Crecimiento de la atenuación muy abrupto en la banda atenuada.
- Variación mínima en la amplitud y retraso de grupo.
- Buena estabilidad termal:
  - 0.2 MHz desviación máxima
  - Uso de Invar (36% acero+64% níquel) o compuestos de grafito para cavidades.
  - Alto Q (10000-20000) y dieléctricos térmicamente estables para miniaturizar cavidades.
  - Cryocoolers si se utilizan superconductores. 5Kg frente a los 18.5Kg INTELSAT VII IMUX de 44 canales. ingenieros no se fían
- Buen aislamiento entrada/salida.
- Uso de circuladores/aisladores de ferrita con bajas pérdidas.

## ejemplo características OMUX

### Ejemplo de especificaciones típicas de filtros del OMUX a 4 GHz:

- Frecuencia: 3.7-4.2 GHz
- Número de canales RF: 12
- Separación de canales: 40 MHz
- Banda de paso: 36 MHz
- Pérdidas de inserción en la banda de paso: minimas (<0.2 dB)
- Rechazo en banda estrecha: 5-10 dB en el borde de la banda de canales con la misma polarización adyacentes. Aumentando a 20-30 dB dentro del 15-20% de la banda de paso más cercana al borde.
- Rechazo de banda ancha: >30-35 dB sobre la banda de recepción (5.925-6.425 GHz)
- Retardo de grupo en la banda de paso: <1-2 ns sobre el 70% central de la banda. Aumenta hasta 10-20 ns en los bordes
- Manejo de potencia: 10-60 Watts por canal
- Rango de temperaturas en operación: 0° a 50°



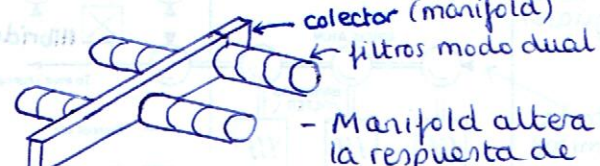
## OMUX

Diseño mucho más crítico

### Características :

- Manejan mucha potencia (de TWTA's)
  - ↳ necesitan tecnología cuidada
- Muy bajas pérdidas (ya vamos a tx!)
  - revestidos para disipar mejor potencia
  - usar canales alternos para disminuir restricciones
  - ahorro de espacio

### Filtros típicos de modo dual



- Manifold altera la respuesta de los filtros
- Muchas variables para optimizar (técnicas ASM) mapeado especial agente
- Cada filtro tiene tornillos de sintonía
- Filtros single terminated (con la menor resistencia de carga posible para no sumar resistencia en serie en el colector)

### Restricciones a nivel de sistema

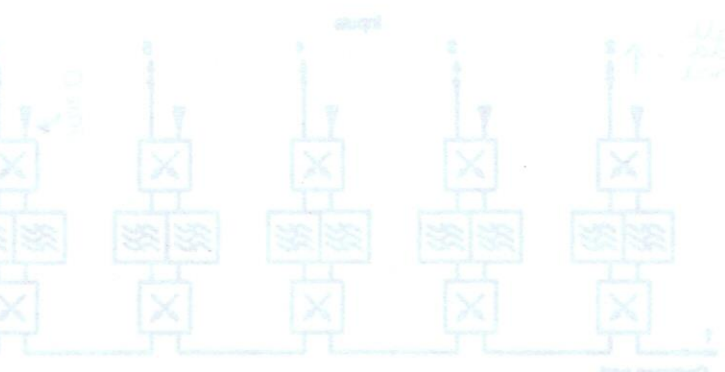
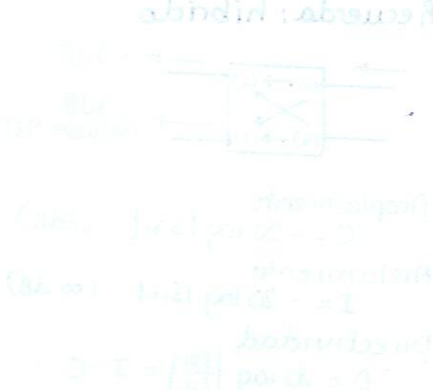
- combina potencia de un número de canales RF
- con pérdidas mínimas para transmisión a través de una ÚNICA ANTENA
- canales RF pueden ser contiguos o no
- No sólo debe sumar las señales de sus entradas, debe filtrar cada canal antes de sumarlos para eliminar ruido y no linearidades de los HPA (high power amplifiers)
- anchos de banda típicos:
  - 27, 36, 45, 54, 72 MHz

↑ intelsat

### Restricciones del diseño

- Capacidad de manejar alta potencia
- Pérdidas de inserción mínimas
- supresión de ruido fuera de banda
- supresión de armónicos fuera de banda
- filtros de banda estrecha (0.3-2%)
- ↳ muy elevado (~20000), bajas perd
- Buena estabilidad termal (0° a 50°)
- Diseño termal para eliminar calor disipado
- Prevención del multipactor (crítico en alta pot)
- Prevención del PIM (Passive Intermodulation)

### abordaje: aislamiento

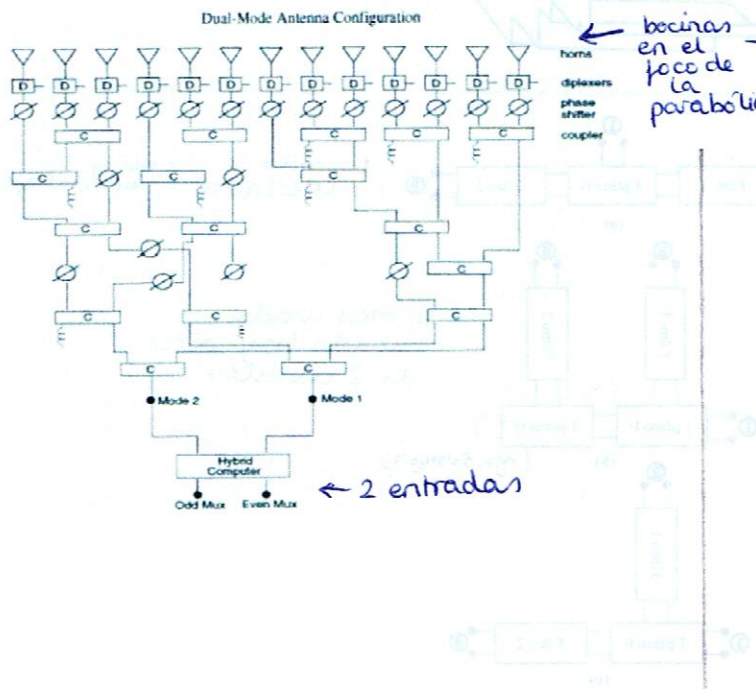
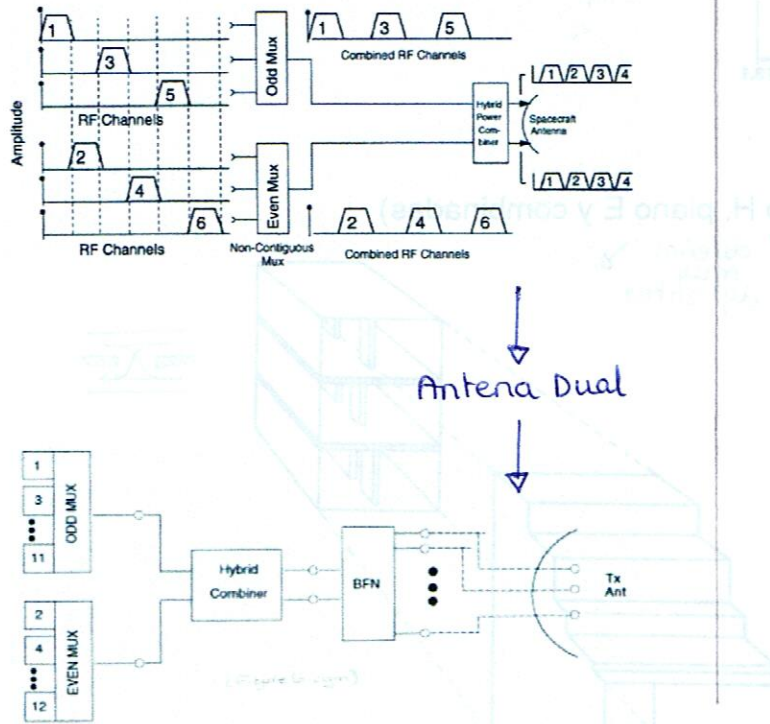


## Arquitecturas OMUX: canales contiguos o no contiguos

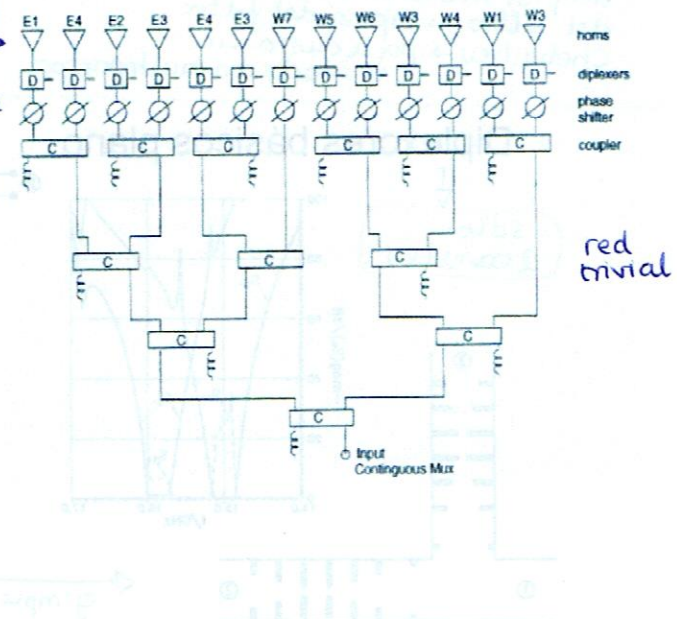
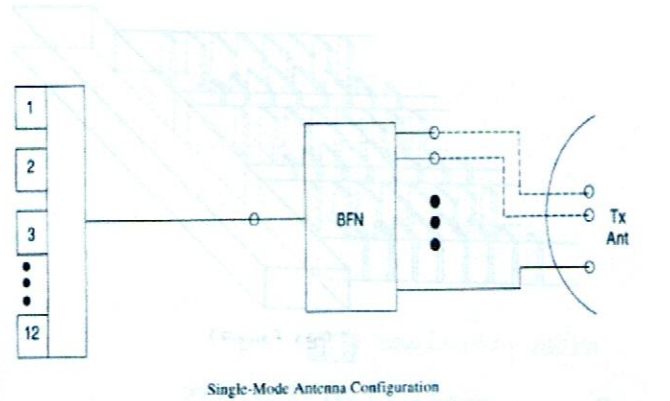
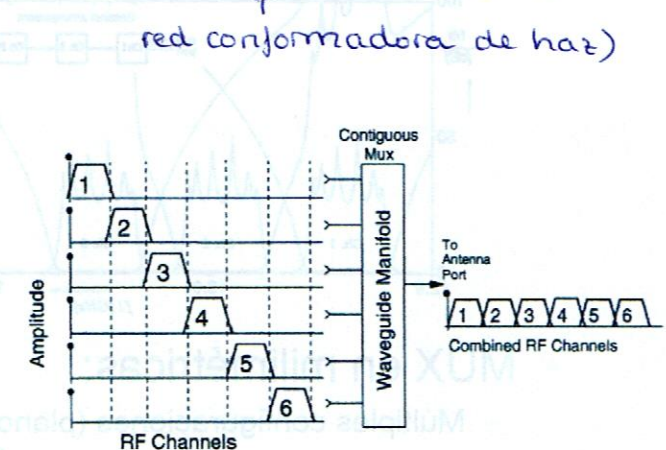
### No contiguos

- Uso 2 OMUX (uno para canales pares y otro impares)

↳ restricciones relajadas  
 ↳ mitad de potencia  
 ↳ antena de entrada dual  
 (más difícil de hacer el BFN)

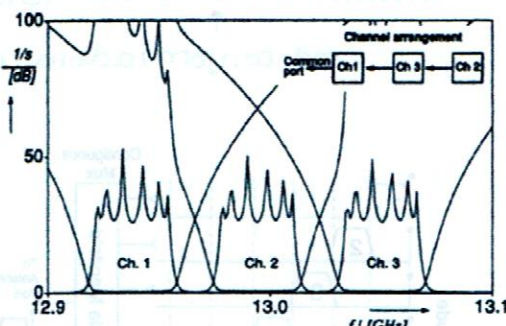


- ### Contiguos
- Todos los canales con el mismo OMUX
  - Antena (red BFN) más sencilla



## Resuesta típica IOMUX (triplexor):

- Canales adyacentes en la misma cadena son importantes
- La optimización de muchas variables es fundamental

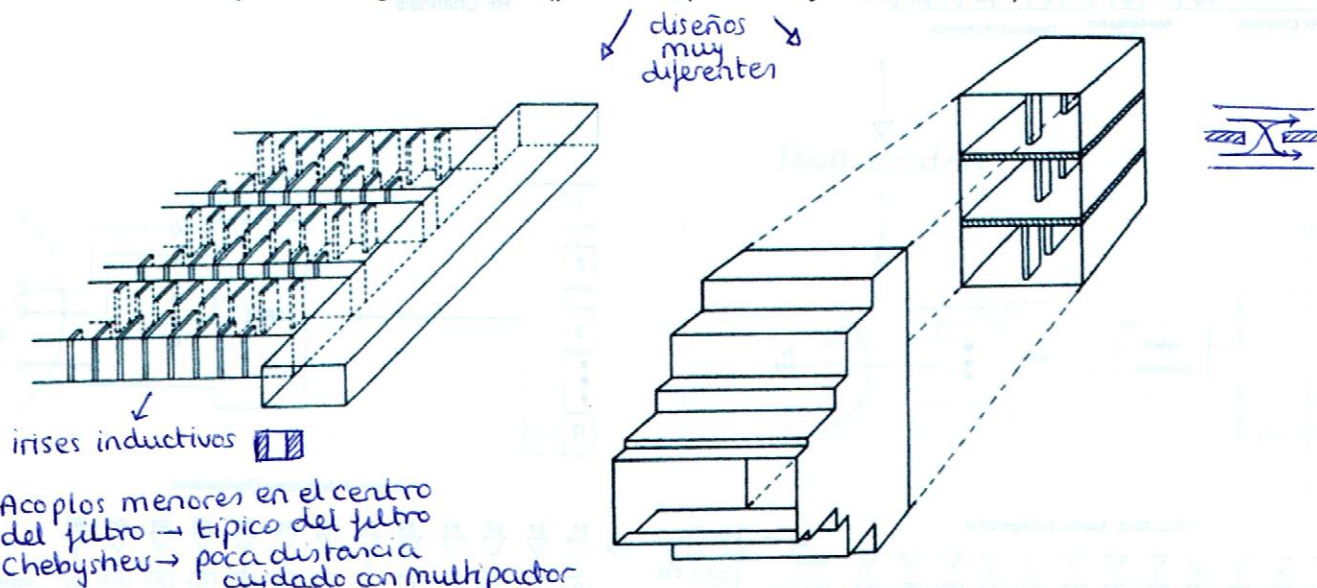


muchas variables

$k$  (nº de dimensiones de cada cavidad)  
 $\times N$  (orden del filtro)  
 $\times M$  (nº de filtros)

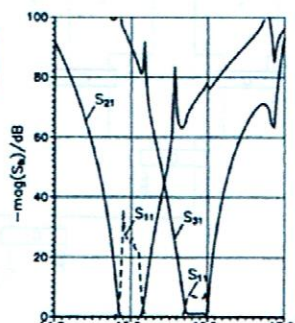
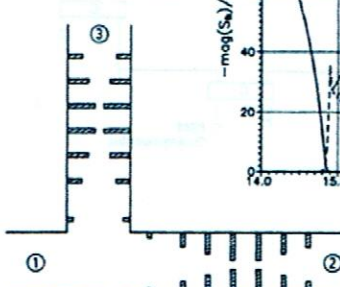
### MUX en milimétricas:

- Múltiples configuraciones (plano H, plano E y combinadas)

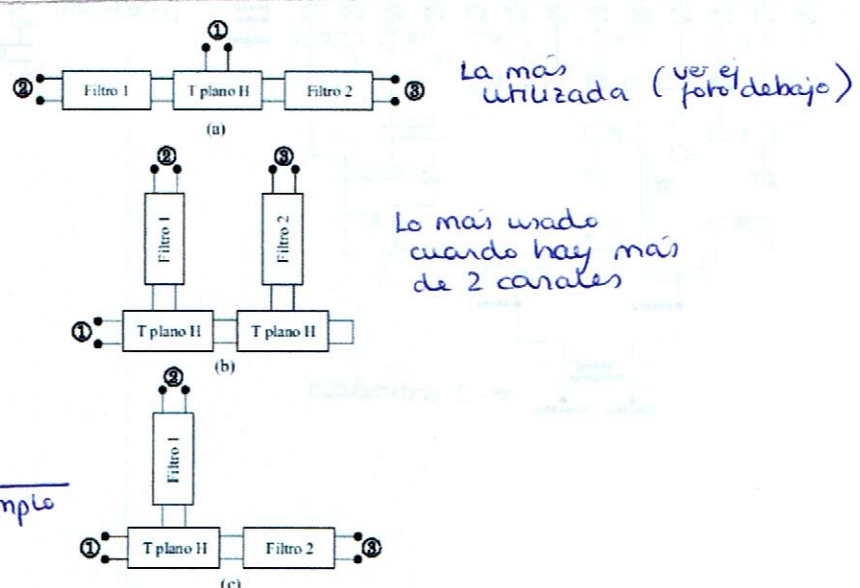


### Diplexores básicos plano

↓  
Sólo 2 canales



ejemplo



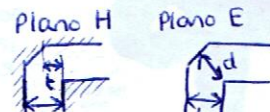
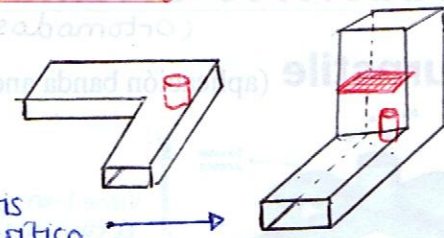
### Diplexor Hispasat 1-C (banda K)



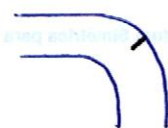
## 2.3 CODOS, DIVISORES, GIRADORES Y ORTOMODOS

### CODOS

- Recto en plano H: compensar con poste no centrado
- Recto en plano E: compensar con poste + iris posición del poste no crítica
- Biselados:
  - biselados óptimos ( $t/a$ ) ( $d/b$ )
  - biselado con 2 o más etapas
  - biselado con saltos
- Ángulo arbitrario: - biselados o no
- Circulares: - adaptar con diafragma capacitivo

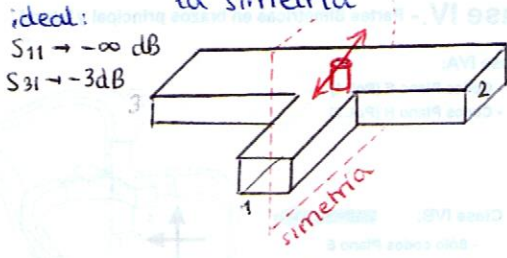


### Hibridas

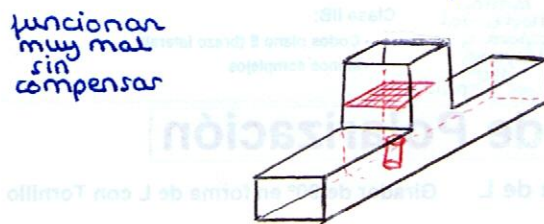


### UNIONES

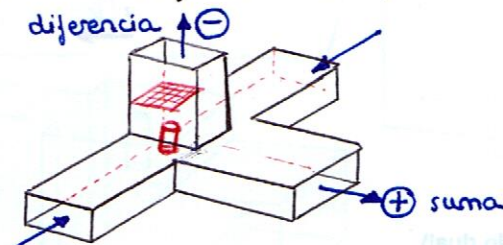
- Unión T plano H
  - compensar con poste moviéndolo delante - detrás pero mantener la simetría



- Unión T plano E
  - compensar con poste + iris posición no crítica

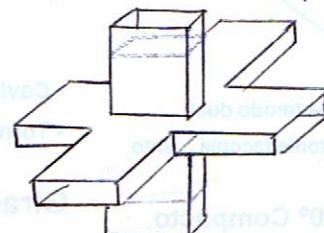


- Unión T mágica: compensar con poste + iris



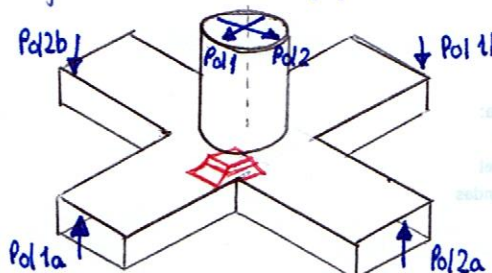
- Unión de 6 puertos

difícil de compensar porque no hay base sobre la que colocar los postes



- Unión turnstile

- compensar con poste (centrado para mantener la simetría)
- ajustar tamaño y forma



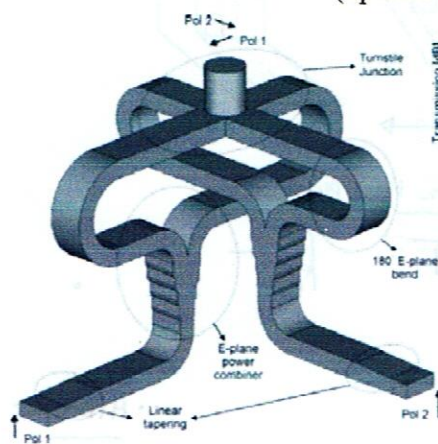
Si la placa sup. es CUADRADA ( $a=b$ ) compensar con pirámide

- cambio en la orientación del campo por las salidas (cambio fase 180°)

# Transductores Ortomodales (Ortomodos)

: separar las 2 polarizaciones

## Con Turnstile (aplicación banda ancha)

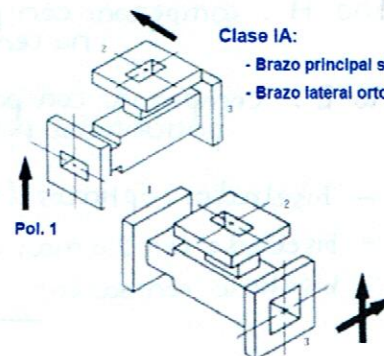


Transmission [dB]

Viene bien que el turnstile devore 180° porque luego se suman en fase

### • Clase I.-

- Estructura Simétrica para Pol. 1
- Estructura Asimétrica para Pol. 2

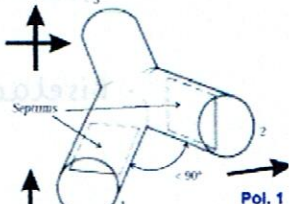


#### Clase IA:

- Brazo principal sin codos
- Brazo lateral ortogonal

#### Clase IB:

- Brazos NO ortogonales



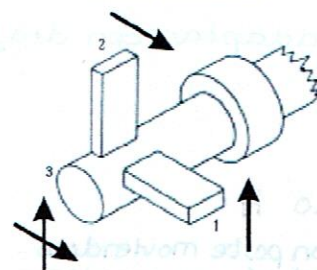
### • Clase III.- Dispositivos Asimétricos

#### Clase IIIA:

- Asimetría en ambos modos
- Ancho de banda limitado

#### Clase IIIB:

- Simetría para un modo



### • Clase IV.- Partes Simétricas en brazos principal y lateral

#### Clase IVA:

- Codos Plano E (brazo lateral)
- Codos Plano H (Pol. 2)

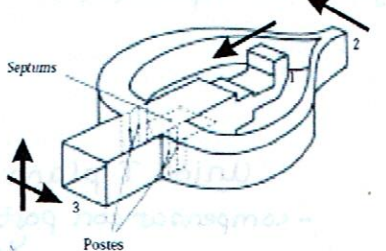
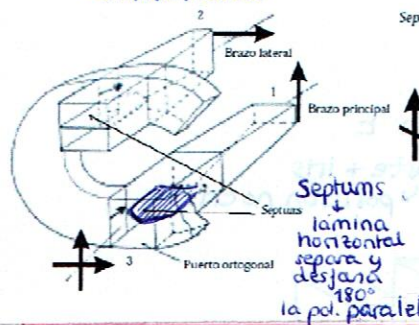
#### Clase IVB:

- Sólo codos Plano E
- Muy buena respuesta
- Amplio uso práctico

## • Clase II.- Estructura Simétrica para Pol. 1 y Pol. 2

#### Clase IIA:

- Codos en plano H
- Complejos y costosos

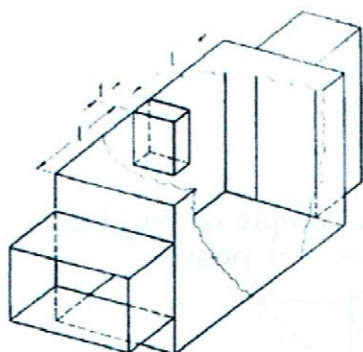


#### Clase IIB:

- Codos plano E (brazo lateral)
- Menos complejos

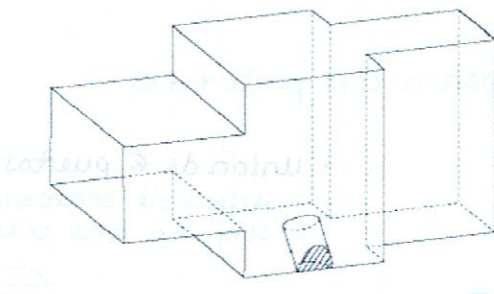
## Giradores de Polarización

### Girador de 90° en forma de L



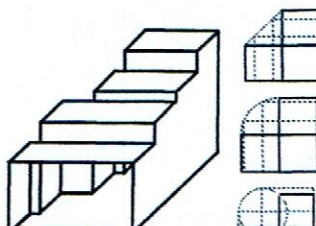
- Cavidad cuadrada (modo dual)
- Elemento de sintonía (acoplamiento)

### Girador de 90° en forma de L con Tornillo



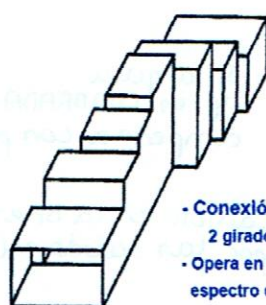
- Cavidad cuadrada (modo dual)
- Tornillo de sintonía (acoplamiento)

### • Girador de 90° Compacto



- Sólo guías rectangulares (fácil fabricar)
- Dispositivos muy cortos (compactos)
- Guías de diferente sección transversal

### • Girador de 180° Compacto



- Conexión en cascada:
- 2 giradores de de 90°
- Opera en la parte baja del espectro de la guía de ondas

# TEMA 3. ANTENAS DE SATÉLITE

Definición de antena:

## 3.1 SISTEMAS

- Sistemas de Comunicaciones espaciales

- Radio relay in space



GEO: posiciones orbitales muy juntas ~3°

En cada posición puede haber muchos satélites (el usuario los ve como uno; ej: ASTRA)

• órbita GEO stationary: 36000 km, 24h stationary from earth

• órbita baja: LEO, 1-2h

Meteorológicos → órbitas bajas para hacer pasadas

↳ principalmente ópticas aunque el radar permite atravesar nubes

Ventajas de órbita baja:

- 100% cobertura
- Menor retraso
- Reducción de PIRE
- Reducción de ganancia/temp. en usuario
- Reducción del tamaño de la antena

- Antenas de comunicaciones

Allocated / regulated frequencies ranging 0.1 to 200 GHz

Interesa:
 

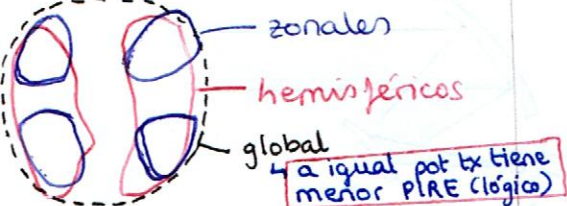
- low side-lobes
- low cross-polarization between beams

Tamaño máximo del reflector → tamaño mínimo del haz (continentales)

- Haces múltiples:

Bandwidth increased. (power is divided among the beams and the bandwidth remains constant for each beam)

formas pensadas para ser válidas en varias posiciones orbitales



- 3 tipos de antenas:

- reflector ← el más simple y maduro en satélites.  
Desventaja: requiere offset del feed

destroys rotational symmetry  
limits the range of scan

- lente
- phased array

Agrupaciones constina { Ventajas:
 

- distribution of power at elementary radiation level
- higher aperture efficiency
- no spillover loss, no aperture blockage
- better reliability

}

Desventajas:
 

- peso
- complejidad
- pérdidas en el feeding network
- how to best configure radiating elements, active devices, feed network, integration, heat dissipation

- Amplificadores de estado sólido:

phased arrays can improve overall power efficiency

- Haz conformado en reflectores

• Array of feed elements (each element a beam)

Reflectarray



1 dB  
menos en  
canarias  
porque tiene  
menos

- otra opción: abollar los reflectores

## Datos intelsat 704

Transpondedores:

- Banda C: 42 (equiv 36 MHz) → circular ↑ y ↓ [UP: 5925-6425 MHz  
DOWN: 3700-4200 MHz]
- Banda Ku: 20 (equiv 36 MHz) → lineal ↑ y ↓ [UP: 14-14.5 GHz  
DOWN: 11.45-11.70 GHz]

nº de transpondedores

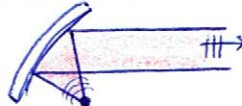
5 canales de TV digital

1 canal TV en FM analógica

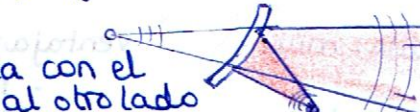
## Configuración de antenas multihaz

### Tipos de Reflector

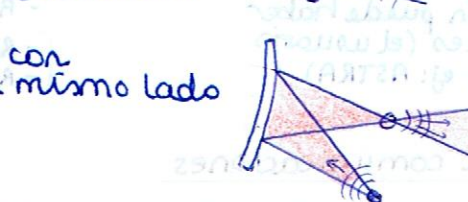
Es un espejo sólido que refleja la señal.



**PARABÓLICO:** esférica → plana



**HIPERBÓLICO:** esférica → esférica con el origen al otro lado



**ELÍPTICO:** esférica → esférica con el origen al mismo lado

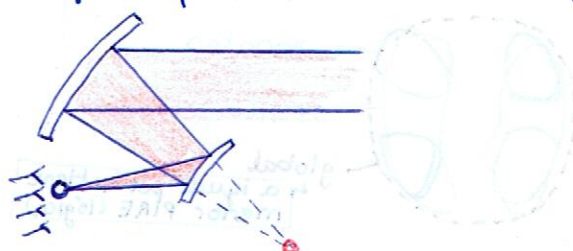
• Superficie reflectora

- sólido
- de hilo
- de rejilla (facil de plegar)

### Configuraciones:

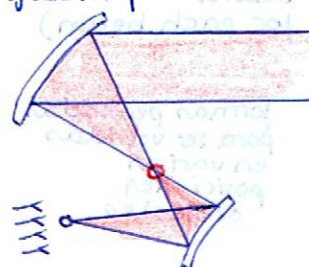
**CASSEGRAIN:**

- subreflector hipérbolico
- reflector parabólico

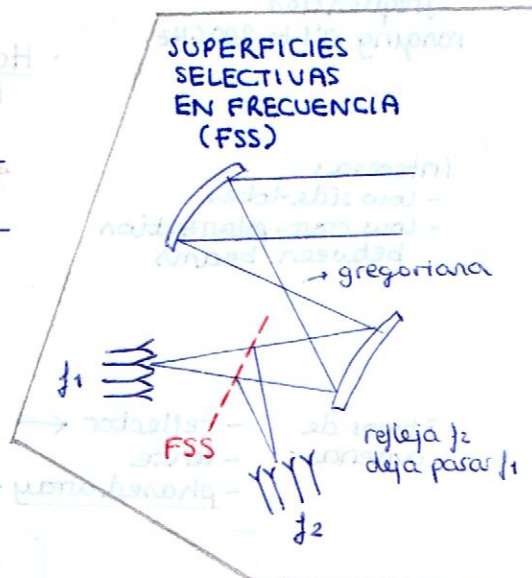


**GREGORIANA**

- subreflector elíptico
- reflector parabólico



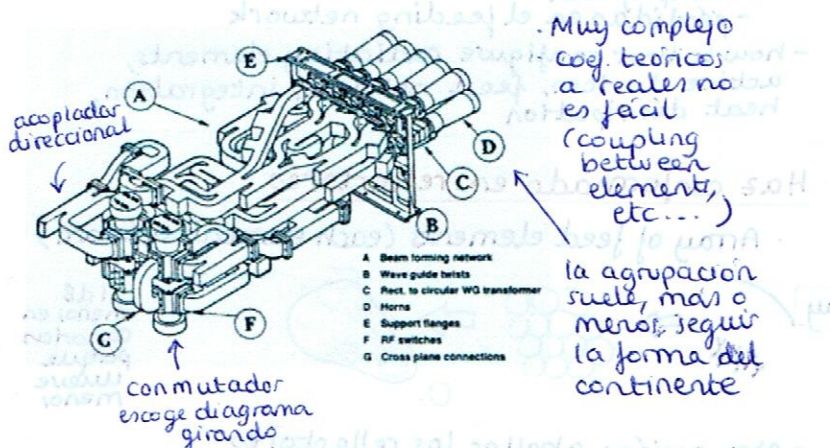
**SUPERFICIES SELECTIVAS EN FRECUENCIA (FSS)**



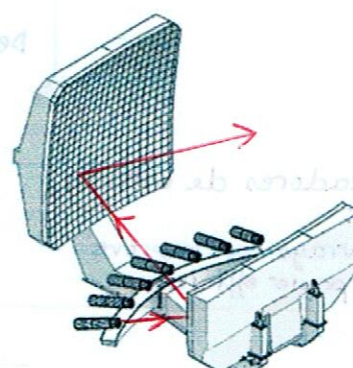
## Agrupación de bocinas

### Beam feeding networks

- Dar la amplitud y fase adecuada a cada bocina
- Fase se consigue con longitud de quíta → limitación en ancho de banda
- La suma y resta de señales se hace con acopladores direccionales



## Antenas multihaz estación base



misma antena en tierra ilumina a varios satélites ej ASTRA

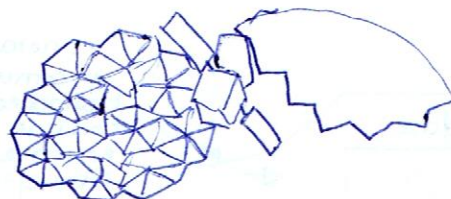
otro ej: TV satélite comuta polarización {H, V, frecuencia {baja, alta} según se lo ordene el set top box

### 3.2 DESPLEGABLES E INFLABLES

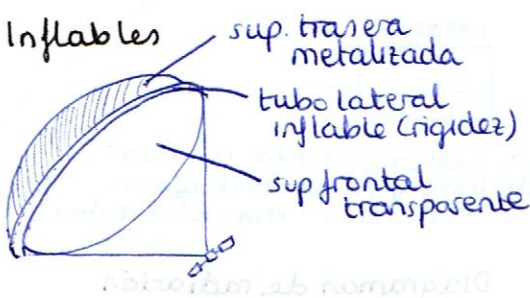
- Paraguas:

agencia japonesa

aún no está acabada la idea final



- Inflables



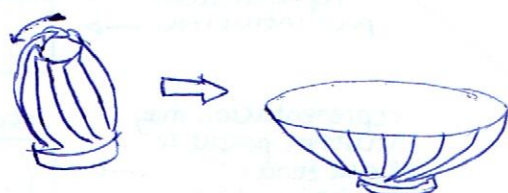
### (2010) BOCINAS (HORN)

- Lucha entre ing. antenas (tolerancias pequeñas  $\geq 1/20$ ) e ing. mecánicos

- Al final tolerancias  $< 1\text{mm}$

- Durante las medidas la gravedad afecta a la deformación de los elementos → se compensa sujetando con hilos

- Superposición de pétalos



Cubierta  $\frac{1}{2}$   
Europa en  
banda C

Problema grave: pinchazos por meteoritos

Solución: plástico que se endurezca con el sol en poco tiempo (riesgo) para no depender del gas dentro

### 3.3 ANTENAS TT & C

Telemetría: medida a distancia de los parámetros (estado) del satélite

Tracking: permitir localizar al satélite desde la tierra (radiofaro)

Poder el satélite apuntarse hacia la tierra

Control: órdenes / comandos

- Antenas no pueden ser directivas (Deben funcionar aunque el satélite esté dando vueltas)
- Polarización circular

- Espirales cónicas

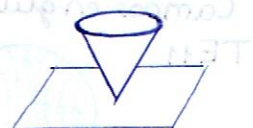
pot. circular  
y no  
directiva



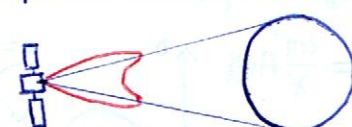
- Cilindro ranurado



Intenta lograr un diagrama de radiación global que compense la distancia.



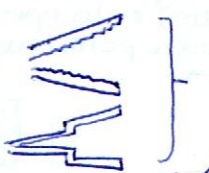
- Varias antenas (típicamente bocinas) por todo el satélite



Otra posibilidad:  
con nine-horn array

- Bocinas

→ corrugadas



→ dual horn

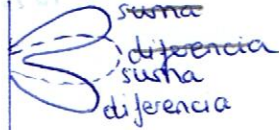
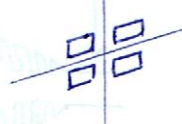


Para lograr rotational symmetry beam

→ dielectric loaded

- Tracking

Es típico usar haces suma y diferencia

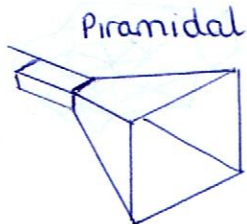
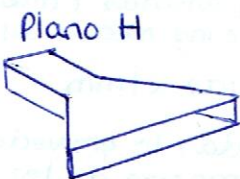


### 3.4. BOCINAS (HORNS)

(HORNS)

Adaptar ondas guiadas  
a ondas radiadas

Aplicaciones:  
 - cobertura global  
 - alimentar reflector  
 - agrupación de antenas  
 (no tan habitual por la complejidad del BFN)



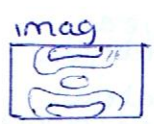
#### Piramidales

representación poco intuitiva



FE

representación muy intuitiva porque se ve qué zonas contribuyen a la radiación

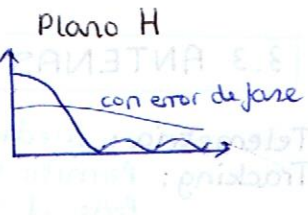


$$D = \frac{4\pi}{\lambda^2} \cdot A_{eff}$$

$$A_{eff} = A_{geom} \cdot \frac{\pi l}{2}$$

los extremos tienen un error de fase y no contribuyen a la radiación (más buenas restas)

#### Diagramas de radiación

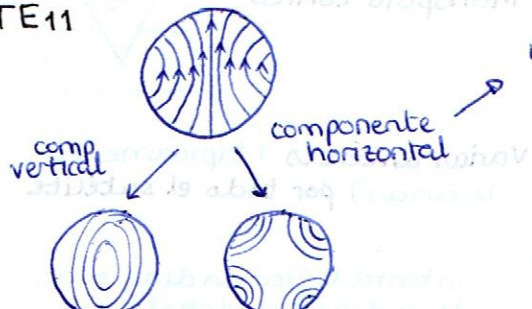


#### Bocinas cónicas

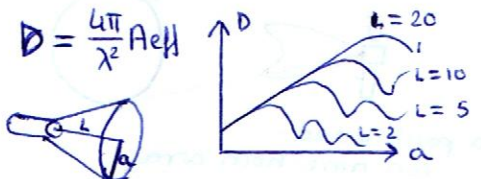
En satélites son siempre cónicas

#### Campos en guía circular

TE<sub>11</sub>



$$A_{eff} = \pi a^2 p_{il}$$



indeseada → polarización cruzada

#### Eliminando polarización cruzada

→ bocinas corrugadas

Lograr que la pared sea circuito abierto en lugar de cortocircuito.  
Corrugaciones de  $\lambda/4$

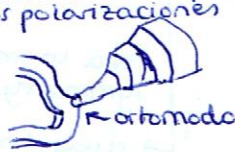


#### → bocina de Potter:

- Discontinuidades para excitar modos de orden superior
- Que el campo (sumatorio de modos) en la apertura tenga poca polarización cruzada



Típico en test: bocina de Potter con ortomodo para las dos polarizaciones



#### Bocinas multimodo

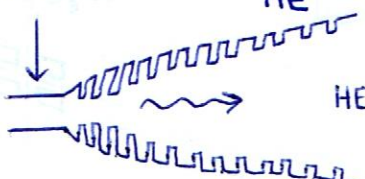
Diseño de bocinas circulares

- modos híbridos

$$HE_{11} \leftarrow 85\% \text{ TE} \\ 15\% \text{ TM}$$

se alimenta con modo  
TE<sub>11</sub>

se hace transición suave al  
HE



HE<sub>11</sub> → buen comportamiento de polarización cruzada

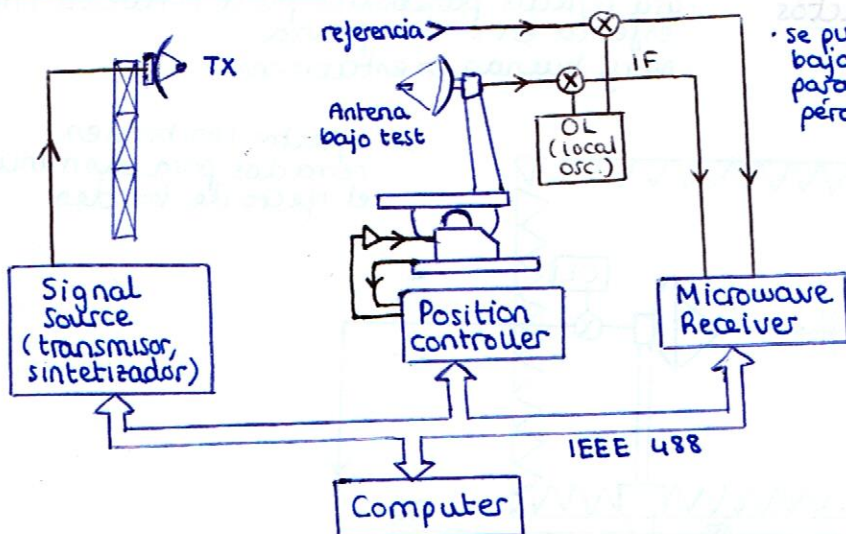
### 3.5 MEDIDA DE ANTENAS

#### Parámetros:

- Polarización: elíptica circular → axial ratio
- Impedancia de entrada: dada  $Z_0$  guía permite obtener  $S_{11}$ , ROE, ...
- Directividad  $\rightarrow PIRE = P_{tx} \cdot G$
- Ganancia = D?
- Eficiencia
- Diagrama de radiación
- Temp. de ruido
- Parámetro G/T

\* Medidas de campo (EDAW)

#### → Campos elevados (outdoor)



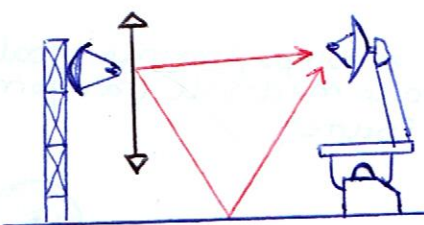
- se puede bajar a IF para reducir pérdidas
- Las medidas se hacen respecto a la referencia (evitar fluctuaciones del tx)

$$R \geq \frac{2D^2}{\lambda}$$

- Para medir la fase el sistema debe estar compensado en retardos

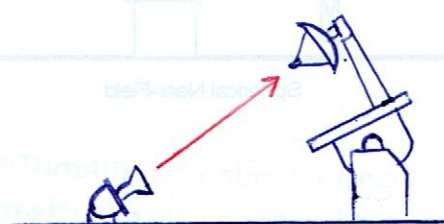
#### → campo de reflexión en suelo:

se tiene en cuenta la reflexión en el suelo. La antena tx se mueve up-down

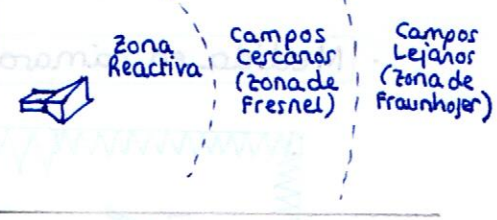
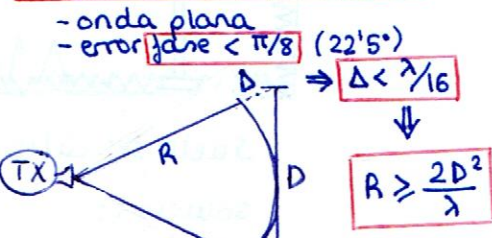


#### → campos inclinados

para evitar la reflexión en el suelo



#### Condición campo lejano



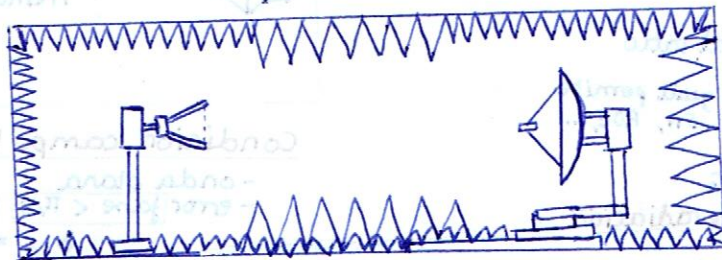
## Medida en cámara anecoica (indoor)

- evita reflexiones

- evita interferencias externas

Tamaño de la pirámide:

- el tamaño máximo limita la freq. inferior de la cámara

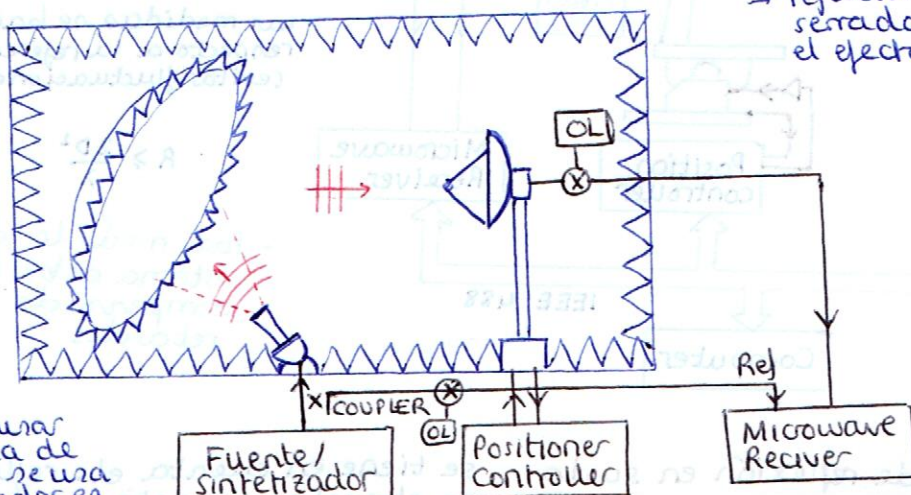


suele ser difícil medir con  $R \geq \frac{2D^2}{\lambda}$

solución:

### → Campos compactos

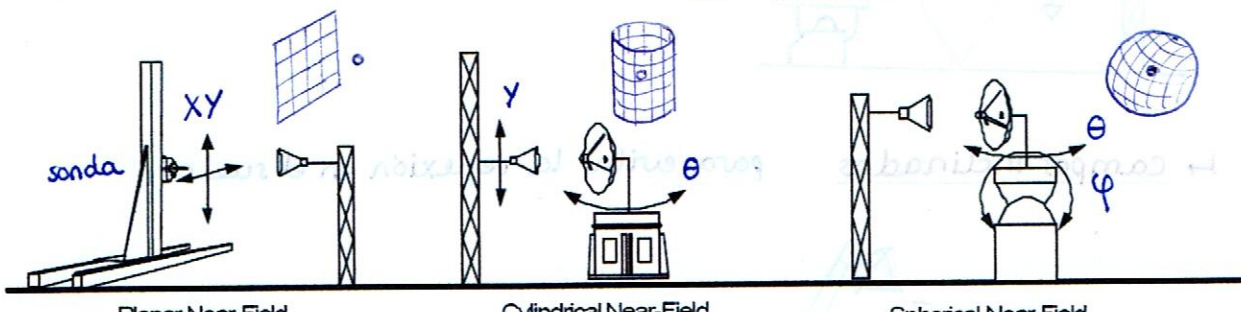
- usa reflector parabólico para convertir onda esférica en onda plana
- muy buenas prestaciones



En vez de usar una antena de referencia se usa un acoplador en el transmisor

## Medidas de campo próximo

medir el campo próximo y calcular el lejano mediante transformada de Fourier

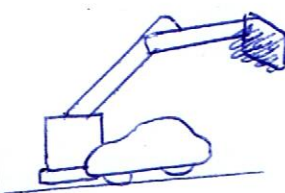


- rectangular
- plano polar
- bi-polar

Alternativa: varias sondas  
ej: sistema cilíndrico

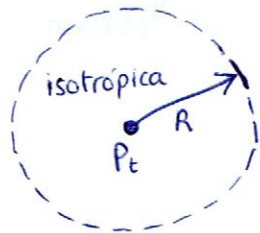


Alternativa: brazo  
ej: sistema estérico (automóviles)



## Conceptos Básicos

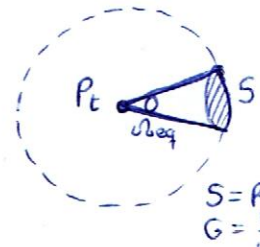
### Radiación de una Antena



$$PFD = \frac{P_t}{4\pi R^2} \quad [\text{W/m}^2]$$

densidad de potencia

El satélite concentra la potencia en una cobertura

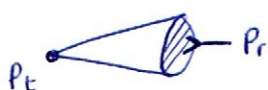


$$\begin{aligned} PFD &= \frac{P_t}{4\pi R^2} \cdot G_t \\ &= \frac{PIRE}{4\pi R^2} \end{aligned}$$

La ganancia de la antena del satélite viene TOTAMENTE determinada por la superficie que queramos iluminar

$$G = \frac{4\pi I}{\lambda \theta_{\text{eq}}} = \frac{4\pi R^2}{S} \quad \text{stat} \quad \textcircled{i}$$

Y lo que recibe la tierra



$$P_r = PFD \cdot A_{\text{eff}}$$

utilizando la relación  $A_{\text{eff}} \leftrightarrow G_r$

$$\frac{G_r}{A_{\text{eff}}} = \frac{4\pi}{\lambda^2}$$

$$A_{\text{eff}} = \frac{G_r \lambda^2}{4\pi}$$

$$A_{\text{eff}} = A_{\text{geom}} \cdot \eta = \frac{\pi D^2}{4} \cdot \eta$$

$$G_r = \frac{4\pi}{\lambda^2} A_{\text{eff}} = \frac{4\pi}{\lambda^2} \cdot \frac{\pi D^2}{4} \cdot \eta$$

$$G_r (\text{dB}) = 10 \log \left[ \left( \frac{\pi D}{\lambda} \right)^2 \eta \right]$$

$$P_r = PFD \cdot A_{\text{eff}}$$

$$= \frac{P_t G_t}{4\pi R^2} \cdot \frac{G_r \lambda^2}{4\pi}$$

$$= \frac{P_t \cdot G_t \cdot G_r}{\left( \frac{4\pi R}{\lambda} \right)^2}$$

defino

$$L_s = \left( \frac{4\pi R}{\lambda} \right)^2$$

$$L_s (\text{dB}) = 20 \log \frac{4\pi R}{\lambda}$$

pérdidas de propagación en espacio libre

Un satélite más lejano NO necesita más potencia, necesita más PIRE =  $P_t \cdot G_t$

Dem:

$$P_{r1} = \frac{P_t G_t}{4\pi R_1^2} \cdot S$$

$$P_{r2} = \frac{P_t G_t}{4\pi R_2^2} \cdot S$$



S

$$\left. \begin{aligned} P_{r1} &= P_{r2} \\ S &= R_1^2 \Delta \theta_{\text{eq}} = R_2^2 \frac{4\pi}{G_t} \end{aligned} \right\} \boxed{P_{t1} = P_{t2}}$$

- La gente tiende a pensar que mayores frecuencias se atenuan más (más pérdidas de propagación), pero es ficticio.
- Pero en realidad lo que pasa es que a altas frecuencias, el  $A_{\text{eff}}$  de la receptora se reduce.

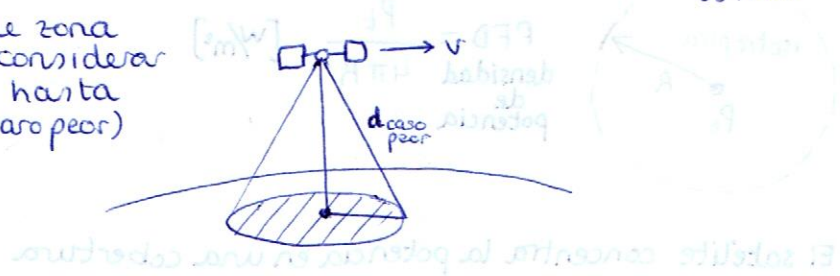
## Orbita circular

$$F = G \frac{Mm}{r^2} = m \frac{v^2}{r}$$

$$v = \sqrt{\frac{GM}{r}} = \sqrt{\frac{\mu}{r}}$$

Cuocibiese radio de la órbita  
 $r = h + R_T$   
 $\downarrow$   
 6371 km

Cuando hablen de zona  
 de cobertura, considerar  
 la distancia hasta  
 el extremo (cara peor)



El radio de cobertura por los que se tienen que cubrir

en el círculo se  
 consideran las distan-  
 cias entre el centro  
 de la Tierra y el satélite  
 y entre el centro y el  
 extremo.

$$\textcircled{1} \quad \frac{2\pi r}{T} = \frac{2\pi R_E}{T}$$

$$A \cdot \frac{R_E}{R_E + R_T} = 0.79$$

$$\frac{R_E}{R_E + R_T} = \frac{0.79}{A}$$

$$R_E + R_T = A$$



$\Rightarrow$   $A \rightarrow$  radio de cobertura

$$A = \frac{R_E}{A - R_E}$$

$$\frac{R_E}{R_E} = \frac{R_E}{A - R_E}$$

$$\frac{R_E}{A - R_E} = \frac{R_E}{R_E}$$

$$\frac{R_E}{A - R_E} = 1$$

$$A - R_E = R_E$$

$$A = 2R_E$$

$$\frac{R_E}{A - R_E} = \frac{R_E}{2R_E}$$

$$\left( \frac{R_E}{A - R_E} \right) = 0.5$$

$$\frac{R_E}{(A - R_E)} = 0.5$$

$$\frac{R_E}{A - R_E} = 0.5$$

Resolviendo el sistema  
 de ecuaciones

se tiene que el radio de la órbita es de 6371 km.  
 La velocidad es de 7.9 km/s.  
 La duración de la órbita es de 90 min.  
 La altura es de 6371 km.

Al sustituir en la ecuación  
 $\omega = \frac{2\pi}{T}$

$$\omega = \frac{2\pi}{T}$$



$$\begin{cases} \theta = \omega t \\ \frac{d\theta}{dt} = \omega \end{cases}$$